

# 非对称 Blumlein 电路在锶离子复合激光器中的作用\*

姚志欣 潘佰良 金永兴 马 涛

(浙江大学物理系, 杭州 310027)

**摘要** 脉冲放电  $\text{Sr}^+$  离子复合激光器使用非对称 Blumlein 电路, 得到的放电电流脉冲后沿陡峭, 且没有起伏。极大激光平均功率高达 524 mW。

**关键词** 锶离子复合激光器, 非对称 Blumlein 电路

集中参数的模拟 Blumlein 型电路源自于双成型传输线电路, 广泛应用于高功率脉冲电源。迄今为止, 文献中见到锶离子复合激光器中的 Blumlein 型电路, 2 个电容器的电容量都是相等的,  $C_1 = C_2$ , 我们称之为对称 Blumlein 电路。实验表明, 在我们的实验条件下, 采用非对称 Blumlein 电路,  $C_1 > C_2$ , 不仅容易实现陡峭下降的放电脉冲后沿, 且干净利落, 电流不再起伏。

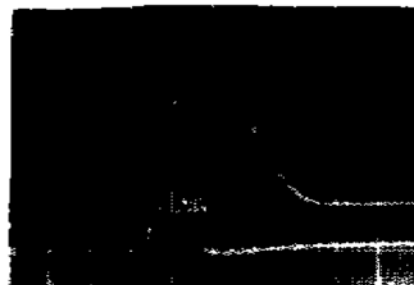
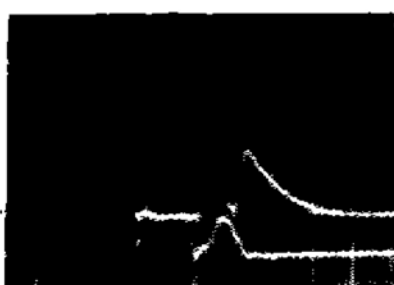


图 1 对称 Blumlein 电路时的电流脉冲波形和激光脉冲波形

Fig. 1 A photograph shows the current and lasing waveforms when a symmetrical Blumlein circuit is used

图 2 非对称 Blumlein 电路时的电流脉冲波形和激光脉冲波形

Fig. 2 A photograph shows the current and lasing waveforms when a non-symmetrical Blumlein circuit is used

实验布置类同文献[1], 采用的激光放电管内径  $\phi 12.9$  mm, 电极间距 54 cm, 电极间沿石英放电管底部布置了共 13 个浅凹穴, 相邻间隔 4 cm,  $L_1 = 3 \mu\text{H}$ , 绝缘加热带 BQ-14A 电功率 480 W, 控制维持放电管内壁温度约 600°C。图 1 用对称 Blumlein 电路,  $C_1 = C_2 = 2 \text{ nF}$ , 图 2 用非对称 Blumlein 电路,  $C_1 = 2 \text{ nF}$ ,  $C_2 = 1 \text{ nF}$ , 在相同的宏观控制参量条件下, 从示波器上分别拍摄到的电流脉冲波形和同时显示的激光脉冲波形。宏观控制参量指的是封闭的氮气压强 30 kPa, 电源电压 5.8 kV, 平均电流 0.18 A, 考虑到储能电容量的差异, 前者的脉冲重复频率是 3

\* 国家自然科学基金和浙江省自然科学基金资助项目。

收稿日期: 1996—02—21; 收到修改稿日期: 1996—06—03

kHz, 后者的是 4 kHz, 正好与它们的电容量成反比, 为的是得到相同的平均电流, 维持同样的温度环境。测量放电电流脉冲的 Model 110 线圈套在放电管阳极引线上, 示波器的横标均是 200 ns/div, 领先的电流脉冲的纵标是 20 A/div, 紧接着的激光脉冲的标度是任意的, 但两张照片之间可作相对比较。为了图形清晰起见, 示波器上电流脉冲波形和激光脉冲波形的零电平基线是特意分开的。

图 1 的放电电流波形明显表现出双峰结构, 电流的第一个峰值约 110 A, 当其下降至零时, 激光开始出现并迅速增强, 约 40 ns 后, 激光强度达到峰值, 随着二次放电电流的上升, 激光强度随即下降, 并在第 2 个电流峰值约为 20 A 过后不久处被完全遏止, 随着二次放电电流的结束, 激光再次出现, 结果激光波形也出现双峰结构。目前我们已经消除了二次放电, 不仅导致激光波形双峰之间的凹陷被填充, 而且峰值增长, 图 1, 图 2 表明了这些差异。图 2 放电电流的峰值仅为 75 A, 略低于图 1 第一个峰值的 3/4, 这是因为其电容量, 从而脉冲放电能量仅及前者的 3/4, 但其激光脉冲能量反而增大, 加上脉冲重复频率的提高, 故激光平均功率大幅度提高。实测表明, 图 1 双峰结构下激光平均功率 150 mW 而图 2 单峰状态下 300 mW。

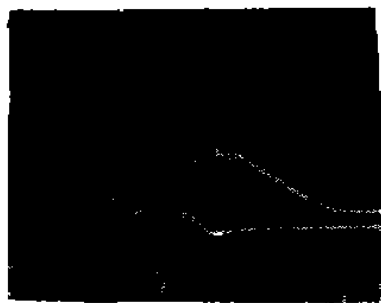


图 3 电波振荡和激光波形图

Fig. 3 Current oscillation and lasing waveform photograph

当进一步增加氮气压强到 40 kPa, 并快速提升电源电压至 6.2 kV, 激光输出最大平均功率达到 524 mW, 但维持时间不长, 显然由于放电管过热所致。我们还曾将非对称 Blumlein 电路倒过来布置,  $C_1 = 1 \text{ nF}$ ,  $C_2 = 2 \text{ nF}$ , 效果不好。我们的实验表明, 电容器  $C_1$  和  $C_2$  的量值和配比在很大程度上影响放电脉冲波形, 但并不是唯一重要的参量, 除了小电感  $L_1$  的取值也有相当的影响外<sup>[1]</sup>, 氮气的压强也有大的作用。我们曾在图 2 的条件下, 仅仅抽去一半氮气, 在 15 kPa 气压下稳定运转, 但激光平均功率从 300 mW 下降到 100 mW 水平。图 3 给出了相应的电光照片, 从图中可以看出脉冲放电波形出现振荡, 这是由于放电管等效阻抗降低, 放电回路负失配的结果, 相应于图 2 中激光脉冲的前半部分被反向电流所遏止<sup>[1]</sup>。

#### 参 考 文 献

1 姚志欣, 潘佰良, 王军营 等. 放电激励的锶离子复合激光器. 中国激光, 1996, A23(7): 600~602

### The Effect of the Non-symmetrical Blumlein Circuit on Sr<sup>+</sup> Recombination Laser

Yao Zhixin Pan Boliang Jin Yongxing Ma Tao

(Department of Physics, Zhejiang University, Hangzhou 310027)

**Abstract** A non-symmetrical Blumlein circuit was used in a pulsed discharge Sr<sup>+</sup> recombination laser for the first time. The discharge current with a fast trailing edge and without ringing has been realized. The maximum laser average power up to 524 mW was obtained.

**Key words** strontium-ion recombination laser, non-symmetrical Blumlein circuit